

Anexa nr. 10 la Contract nr./2018

Contractor:

Cod fiscal : (anexa la procesul verbal de avizare interna nr.)

De acord,

DIRECTOR GENERAL

Dr. Ing. Sergiu Nicolaie

Avizat,

DIRECTOR DE PROGRAM

Dr. Ing. Georgeta Alecu

RAPORT DE ACTIVITATE AL FAZEI

Contractul nr.: 35N/2018

Proiectul: PN18240302 “Structuri complexe dedicate ecranarii electomagnetice - ecrane cu atenuare controlata pentru spectru extins de frecvențe”

Faza: nr. 1/2018, “Studiu documentar ecrane electomagnetice compozite/multistrat si transparente optic si aerodinamic”

Termen: 15.05.2018

1. Obiectivul proiectului:

Obiectivul principal al proiectului este dezvoltarea de materiale compozite usoare, obtinute prin tehnologii noi si emergente, cu proprietati de ecranare electomagnetica controlabile/selective de pana la 18 GHz, inclusiv materiale transparente optic si aerodinamic.

2. Rezultate preconizate pentru atingerea obiectivului:

- studiu documentar privind ecrane electomagnetice compozite/multistrat si transparente optic si aerodinamic;
- model experimental de material metalic/oxid metalic nanostructurat obtinut prin sinteza chimica: dimensiunea medie a particulei <100nm, puritate >98%;
- model experimental de material netesut compozit polimeric cu proprietati de ecranare selectiva de pana la 18 GHz;
- obtinere de ecrane electomagnetice transparente optic si aerodinamic avand ca precursor tehnologia 3D Printing;
- atenuare electomagnetica a ecranelor obtinute $SE_{dB} = 50 - 100$ dB in gama de frecvențe 10 MHz – 18 GHz.

3. Obiectivul fazei:

Realizarea unui studiu documentar privind ecranele electromagnetice compozite/multistrat si transparente optic si aerodinamic.

4. Rezultate preconizate pentru atingerea obiectivului fazei:

- prezentarea aspectelor teoretice ale ecranarii electromagnetice a panourilor formate din ghiduri de unda;
- evaluarea influentei dimensiunilor si numarului ghidurilor de unda precum si a dimensiunii panourilor asupra eficacitatii ecranarii electromagnetice (SE);
- determinarea efectului grosimii stratului conductiv asupra SE in cazul panourilor de ghiduri de unda realizate dintr-un material dielectric si acoperite cu un strat conductiv;
- prezentarea principiului general de realizare a ecranelor electromagnetice transparente optic si aerodinamic folosind tehnologia *3D printing*;
- prezentarea aspectelor teoretice pentru eficacitatea ecranarii electromagnetice a ecranelor plane – dependenta de parametrii de material ϵ , μ , σ ;
- evaluarea efectelor dimensiunii particulelor asupra permeabilitatii pentru materiale de umplutura magnetice;
- prezentarea stadiului actual in ceea ce priveste materialele compozite hibride utilizate in aplicatii de ecranare electromagnetica.

5. Rezumatul fazei: (maxim 5 pagini)

Obiectivul principal al acestei etape a constat in realizarea unui studiu documentar privind ecranele electromagnetice compozite/multistrat si transparente optic si aerodinamic.

In ceea ce priveste ecranele electromagnetice transparente optic si aerodinamic, studiul prezinta teoria ecranarii electromagnetice a panourilor formate din ghiduri de unda, rezultatele unor studii privind influenta numarului de ghiduri de unda (n) asupra eficacitatii ecranarii electromagnetice (SE) si influenta asupra SE a grosimii stratului de material conductiv in cazul ecranelor realizate prin acoperirea panourilor perforate din materiale dielectrice cu un strat de material conductiv, precum si aspecte referitoare la realizarea practica a ecranelor electromagnetice transparente optic si aerodinamic avand ca precursor tehnologia de imprimare tridimensionalala (*3D printing*).

Eficacitatea ecranarii electromagnetice a panourilor de ghiduri de unda este data in principal de atenuarea electromagnetică a ghidului de unda unitar al panoului, care depinde de dimensiunea sa transversala (a) si de lungimea (t) sa (care este de fapt grosimea panoului de ghiduri de unda). La atenuarea ghidului de unda se adauga contributia numarului de ghiduri de unda (n) din panou.

Pentru analiza panourilor infinite formate din ghiduri de unda cu pereti paraleli se foloseste metoda Wiener-Hopf. Primul termen al ecuatiilor furnizate de metoda Wiener-Hopf reprezinta SE a celulei unitare de ghid de unda iar termenii al doilea si al treilea reprezinta SE a unui panou infinit de ghiduri de unda cu pereti paraleli. Studiile efectuate in cazul panourilor infinite formate din ghiduri de unda cu geometrie hexagonală, releva o neconcordanta in zona frecventelor joase intre datele numerice obtinute prin simulare prin metoda elementelor finite (FEM) si atenuarea obtinuta din

ecuatie data de metoda Wiener-Hopf pentru geometria hexagonală. Astfel, pentru a aproxima mai bine comportamentul din zona frecventelor joase, ecuația a fost modificata prin adaugarea unui termen suplimentar.

Influenta numărului de ghiduri de undă asupra SE a fost evaluată într-un studiu care a constat în proiectarea și simularea în domeniul FEM a diverse structuri fagure cu n -uri diferite. Concluzia acestui studiu este că SE este aproape independentă de numărul de ghiduri de undă n ; depinde în primul rând de dimensiunea transversală și lungimea fiecarui ghid de undă.

În cazul panourilor de ghiduri de undă realizate din materiale dielectrice și acoperite cu un strat metalic, studiul efectuat de Xiao Li arată că performanțele de ecranare ale panoului cu acoperire metalică sunt mai scăzute în zona frecventelor joase și fata de cele ale unui panou de ghiduri de undă realizat în întregime din același metal. Totuși, s-a observat că la creșterea grosimii stratului metalic de la $2 \mu\text{m}$ la $4 \mu\text{m}$, SE nu s-a modificat ceea ce arată faptul că SE nu va fi afectată nici în cazul în care grosimea stratului metalic depășește adâncimea sa de patrundere.

În practică, panourile de ghiduri de undă sunt folosite ca panouri de ventilare și au mai multe denumiri: panouri de ventilare de tip ghid de undă, panouri de ventilare de tip honeycomb (fagure) sau panouri de ventilare ecranate. Cea mai frecventă formă constructivă de panou de ventilare fagure este din otel sau alama acoperit cu cositor (hot solder plated). Sunt disponibile panouri de pana la $0.6 \times 0.9 \text{ m}$. Trei forme diferite de panouri de ventilare sunt disponibile, în funcție de tipul de ecran care se instalează. Cea mai frecventă este fagurele de otel cu celule de 4.7 sau 3.2 mm , cu grosimi de 25.4 mm . Acestea sunt lipite pe un panou de ecranare sau montate într-o rama. Pentru o dimensionare mai preciză, la proiectarea acestor dispozitive, ar trebui luate în considerare și datele privind scaderea presiunii aerului. Pe lângă aer, panourile de tip fagure permit și trecerea luminii. Experimente preliminare realizate în cadrul institutului nostru au arătat o transparentă la radiatia luminoasă de peste 35% la incidenta normală pentru un panou de tip fagure cu ghiduri de undă cu dimensiune $a \approx 2.5 \text{ mm}$ și cu grosime $t = 15 \text{ mm}$.

Pentru obținerea ecranelor electomagnetice transparente optic și aerodinamic, proiectul se bazează pe o idee originală, o nouitate absolută pe plan internațional, care permite realizarea de placi și/sau incinte ecranate electomagnetic în diferite game de frecvențe folosind ca precursor tehnologia de imprimare tridimensională (3D printing, additive manufacturing). Ideea constă în realizarea de panouri de tip fagure (perforate) folosind tehnologia de imprimare 3D și apoi acoperirea lor cu un strat de material conductiv cu parametri superiori, într-un strat foarte subtire, astfel încât să se obțina un panou de ghiduri de undă. Materialele care pot fi folosite pentru realizarea panourilor perforate prin imprimare 3D sunt: ABS-M30, Nylon 12 sau policarbonat. Stratul de material conductiv pentru acoperirea panourilor perforate se va obține prin aplicarea unei vopsele conductive pe baza de argint.

Referitor la ecranele electomagnetice compozite, în cadrul acestei prime etape de cercetare a proiectului au fost realizate studii documentare în scopul determinării materialelor componente necesare pentru obținerea compozitelor care pot fi utilizate în

aplicatii de ecranare electromagnetică. În ultimii ani, o atenție deosebită a fost atribuită cercetărilor nanocompozitelor hibride cu proprietăți magnetice și electrice pentru aplicatii în domeniile industriale și academice. De exemplu, nanocompozitele cu polimeri conductori și nanoparticulele magnetice sunt printre materialele cele mai studiate pentru absorbția microundelor și ecranare electromagnetică. Dezvoltarea extensivă a dispozitivelor electronice, precum și utilizarea intensă a undelor electromagneticice a condus la necesitatea unor ecrane adecvate pentru protecția împotriva acestor unde electromagneticice.

În acest sens, un material compozit se poate realiza utilizând pe lângă polimerii organici necesari pentru obținerea proprietăților mecanice, și a polimerilor cu proprietăți electrice, de exemplu polimerii conductivi. Prin folosirea acestora se obține un material compozit cu proprietăți electrice imbunatatite. Cei mai utilizati polimeri conductivi sunt: polipirolul, poli (3-4 etilendioxitofen), polianilina.

O alternativă pentru polimerii conductivi o constituie nanoparticulele metalice și carbonice. Pentru cele două tipuri de materiale, în literatura de specialitate a fost raportat faptul că ecranarea electromagnetică este imbunatatita odata cu prezenta conductivitatii electrice. Materialele utilizate cel mai des sunt: nichelul, argintul, cuprul, iar dintre materialele carbonice: nanotuburi de carbon și negru de fum.

De asemenea, se mai pot utiliza ca materiale de umplutura cu proprietăți magnetice, particulele magnetic moi, caracterizate de permeabilitate magnetică, particule ce pot fi combinate cu polimeri. Nanoparticulele magnetice pe baza de fier și oxid de fier prezintă proprietăți magnetice remarcabile: rezistență electrică ridicată și stabilitate chimică. Totuși, pentru a putea folosi nanoparticule magnetice în prepararea compozitelor magnetice eficiente, ar trebui să fie controlat contactul fizic între particule. Prin urmare, atât dimensiunea, cât și forma nanoparticulelor, precum și agregarea lor în interiorul matricii sunt factori care trebuie luati în considerare cu mare atenție la proiectarea compozitelor magnetice pentru aplicatii în domeniul ecranării radiatiilor electromagneticice.

În general, nanocompozitele hibride pot fi obținute, în funcție de utilizarea lor finală, prin incorporarea nanoparticulelor magnetice în matrice de polimeri conductivi sau prin incapsularea nanoparticulelor pentru obținerea sistemelor core-shell. În plus, proprietatile finale ale materialelor hibride nu depind numai pe proprietățile componentelor, ci și de compozitia compozitului și de dispersabilitatea nanoparticulelor în matricea polimerică, de omogenitatea nanocompozitului și de interacțiunile dintre componente.

6. Rezultate, stadiul realizării obiectivului fazei, concluzii și propunerি pentru continuarea proiectului (se vor preciza stadiul de implementare a proiectului, gradul de indeplinire a obiectivului cu referire la tintele stabilite și indicatorii asociati pentru monitorizare și evaluare).

În cadrul acestei etape a fost realizat un vast studiu documentar în ceea ce privește problematica ecranelor electromagneticice compozite/multistrat și transparente optic și aerodinamic.

Mecanismele care contribuie la atenuarea radiatiei electromagnetice

Atenuarea unui ecran electromagnetic rezulta din trei mecanisme (Fig. 1):

- reflexia la prima interfata datorita diferentei de impedanta la frontieră aer-metal.
- absorbtia radiatiei in materialul ecranului (transformare in caldura).
- reflexiile repeatate in interiorul ecranului.

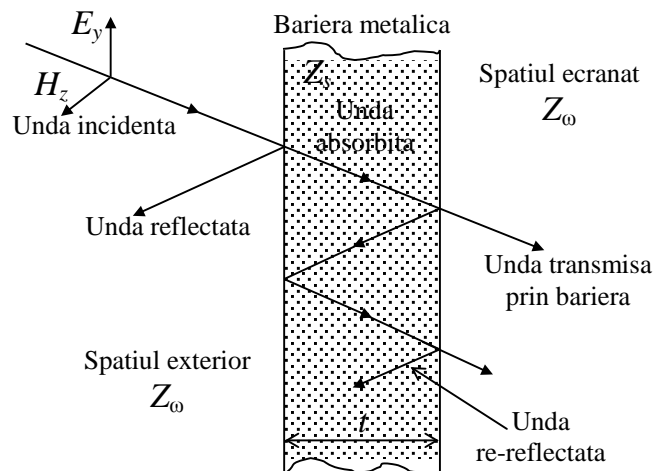


Fig. 1. Mecanismele care contribuie la atenuarea radiatiei electromagnetice

Prima reflexie reprezinta „pierderile prin unica reflexie”, R . Absorbtia in ecran este notata cu A si reflexiile ulterioare conduc la un “termen de corectie pentru reflexiile multiple”, B . B este semnificativ numai daca $A \leq 15$ dB. Astfel, eficacitatea ecranarii SE este:

$$SE = R + A + B$$

Reflexia

Pierderile prin reflexie depind atat de impedanta de suprafata a ecranului Z_s cat si de impedanta de unda Z_ω care depinde de tipul sursei (electrica sau magnetica) si de distanta de la sursa la ecran (zona Fresnel respectiv Fraunhofer).

$$Z_s = [j\omega\mu(\sigma + j\omega\mu)]^{1/2} \quad \Omega$$

unde: ω – frecventa unghiulara a radiatiei electromagnetice; μ – permeabilitatea materialului ecranului; σ – conductivitatea materialului ecranului.

In general, pierderile prin reflexia la prima interfata a ecranului sunt date de relatia:

$$R = 20 \log_{10} \left[\frac{(Z_s + Z_\omega)^2}{4 \cdot Z_s \cdot Z_\omega} \right] \quad \text{dB}$$

In cazul undelor plane (camp departat), R este dat de relatia:

$$R = 108.1 - 10 \log_{10} \left(\frac{\mu_r f_{\text{MHz}}}{\sigma_r} \right) \text{ dB}$$

unde: μ_r – permeabilitatea relativa a materialului ecranului; f_{MHz} – frecventa radiatiei electromagnetice in MHz; σ_r – conductivitatea relativa a materialului ecranului.

Absorbtia

Pierderile prin absorbtie depind de constanta de atenuare $\alpha = \sqrt{\pi f \mu \sigma}$. Pierderile prin absorbtie sunt date de:

$$A = 1314.3 \cdot t \cdot (f \cdot \mu_r \cdot \sigma_r)^{1/2} \text{ dB}$$

unde: t – grosimea ecranului in cm, f – frecventa in MHz, μ_r – permeabilitatea relativa, σ_r – conductivitatea relativ la cea a cuprului.

Reflexiile interne multiple (re-reflexia)

Atunci cand o unda loveste o bariera metalica, o parte din energie trece prin bariera iar o alta parte este reflectata. Acest lucru se intampla si la iesirea din bariera. Astfel, in interiorul barierei vor exista reflexii multiple. Aceste reflexii pot fi neglijate atunci cand pierderile prin absorbtie depasesc 15 dB. Conform datelor din literatura, acesta este cazul majoritatii materialelor la frecvente de peste 1 MHz. Astfel, din motive practice, in majoritatea cazurilor de ecranare este necesar sa se calculeze doar pierderile prin reflexie si absorbtie.

Eficacitatea ecranarii electromagnetica a ghidurilor de unda

Existenta unor gauri sau fante (mici aperturi) intr-un ecran electromagnetic conduce la radiatii sau scurgeri a caror magnitudine poate reduce eficacitatea ecranarii ecranului. In cazul special in care apertura este mica din punct de vedere al lungimii de unda si are o oarecare lungime, poate sa apara o eficacitate a ecranarii (atenuare) ridicata. Acest lucru este folosit la proiectarea ghidurilor de unda si a ecranelor electromagnetice folosite ca panouri de ventilare ecranate la ecranarea incintelor.

Eficacitatea ecranarii electromagnetice (SE) a unui ghid de unda depinde de dimensiunea sa transversala (a) si de lungimea sa (t). Tabelul 1 prezinta ecuatiiile eficacitatii ecranarii electromagnetice pentru ghidurile de unda dreptunghiular, circular si hexagonal (Fig. 2), asa cum se gasesc in literatura de specialitate.

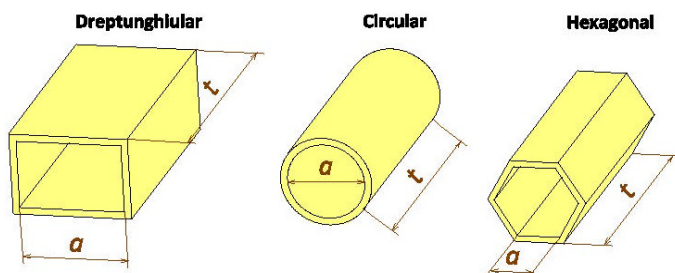


Fig. 2. Ghiduri de unda cu geometrii obisnuite

Tabel 1. Ecuatiile SE_{dB} pentru diverse ghiduri de unda

Dreptunghiular	Circular	Hexagonal
$SE_{dB} = 27.3 \frac{t}{a} \sqrt{1 - \left(\frac{af_o}{150000} \right)^2}$	$SE_{dB} = 31.95 \frac{t}{a} \sqrt{1 - \left(\frac{af_o}{175800} \right)^2}$	$SE_{dB} = 17.5 \frac{t}{a} \sqrt{1 - \left(\frac{af_o}{96659} \right)^2}$

In relatiile din Tabelul 1, t si a sunt in mm iar f_o in MHz.

Eficacitatea ecranarii electromagnetice a panourilor de ghiduri de unda

In cazul unei matrici de ghiduri de unda cum ar fi o fereastra de ventilare de tip fagure (honeycomb), ca cea din Fig. 3, eficacitatea ecranarii electromagnetice este data de relatia:

$$SE_{dB} = 27.27 \frac{t}{a} - 20 \log_{10}(n)$$

unde n este numarul de celule (numarul de ghiduri de unda) dintr-o lungime de unda la patrat sau din cadrul ferestrei de ventilare, care dintre ele este mai mica.

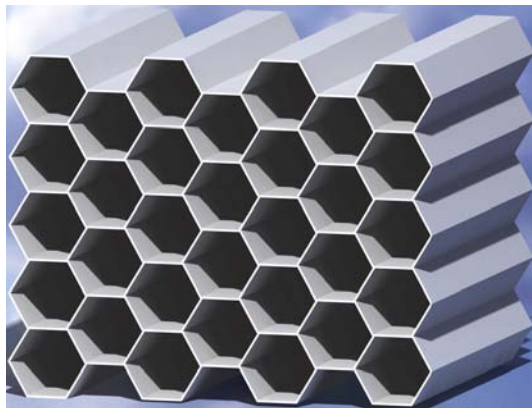


Fig. 3. Structura de tip fagure (matrice de ghiduri de unda hexagonale)

Pentru analiza panourilor infinite formate din ghiduri de unda cu pereti paraleli se foloseste metoda Wiener-Hopf care furnizeaza ecuatiile:

Geometrie dreptunghiulara

$$SE_{dB} = 27.3 \frac{t}{a} \sqrt{1 - \left(\frac{af_o}{150000} \right)^2} - 20 \log_{10} \frac{2ka}{\pi} \cos \varphi$$

Geometrie circulara

$$SE_{dB} = 31.95 \frac{t}{a} \sqrt{1 - \left(\frac{af}{175800} \right)^2} - 20 \log_{10} \frac{2ka}{\pi} \cos \varphi + 20 \log_{10} \frac{2k_{cmm}a}{\pi} \cos \varphi$$

Geometrie hexagonală

$$SE_{dB} = 17.5 \frac{t}{a} \sqrt{1 - \left(\frac{af}{96659} \right)^2} - 20 \log_{10} \frac{2ka}{\pi} \cos \varphi$$

unde k este numarul de unda ($k = \omega/c$), a este dimensiunea transversala a ghidului de unda si φ este unghiul undei incidente. Primul termen al ecuatiilor de mai sus reprezinta SE a celulei unitare de ghid de unda iar termenii al doilea si al treilea reprezinta SE a unui panou infinit de ghiduri de unda cu pereti paraleli.

Dependenta SE de numarul de ghiduri de unda a fost verificata prin proiectarea si simularea in domeniul FEM a diverse structuri fagure cu n -uri diferite. Asa cum se poate vedea in Fig. 4, SE este aproape independenta de numarul de ghiduri de unda n ; depinde in primul rand de dimensiunea transversala si lungimea fiecarui ghid de unda.

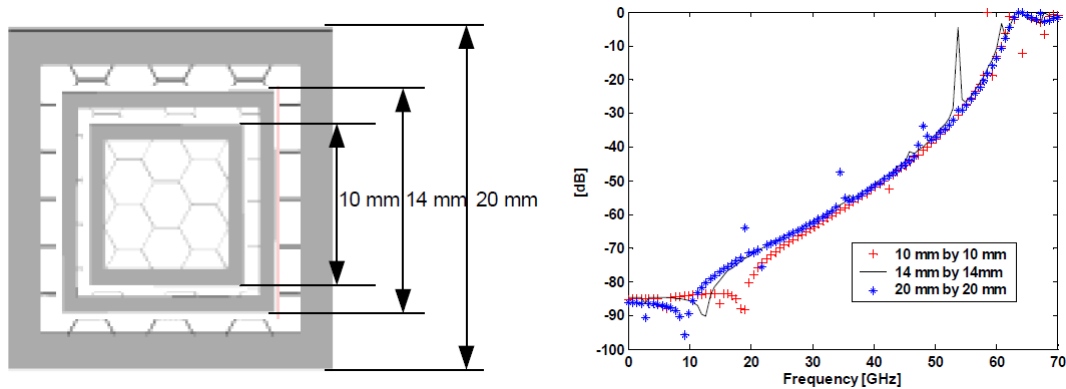


Fig. 4. Panouri fagure cu diferite dimensiuni si SE pentru diferite valori ale lui n

Eficacitatea ecranarii panourilor cu acoperiri metalice

In cazul unui ghid de unda acoperit cu un strat metalic, se poate presupune ca cel mai rau caz este cel in care numai una din suprafetele ghidului a fost acoperita, ceea ce da maximul de scurgeri electromagnetice prin acoperirea metalica (Fig. 5).

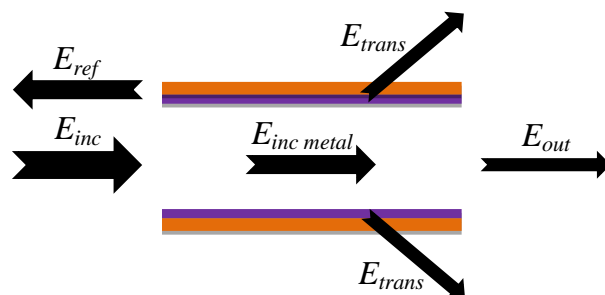


Fig. 5. Propagarea undei electromagnetice intr-un ghid de unda cu acoperire metalica

In acest caz, eficacitatea ecranarii totala a ghidului de unda este data de relatia:

$$SE_{total}(\text{dB}) = E_{inc}(\text{dB}) - E_{trans}(\text{dB}) - E_{out}(\text{dB})$$

care reprezinta SE a ghidului de unda acoperit cu strat metalic in cazul cel mai rau.

Figura 6 prezinta SE calculata a unui panou de ghiduri de unda circulare acoperite cu un strat metalic in comparatie cu SE a panoului de ghiduri de unda circulare realizat in intregime din metal pur si SE a stratului metalic folosit pentru acoperirea panoului.

Metalul folosit este aluminiu iar grosimea stratului de acoperire este $g = 1 \mu\text{m}$. Se observa ca performantele de ecranare ale panoului de ghiduri de unda acoperit cu strat metalic sunt mai scăzute în zona frecvențelor joase.

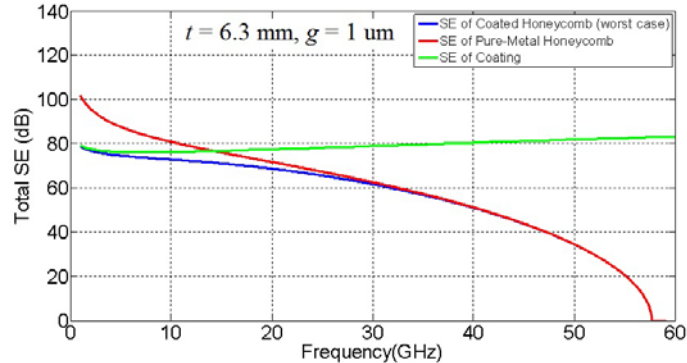
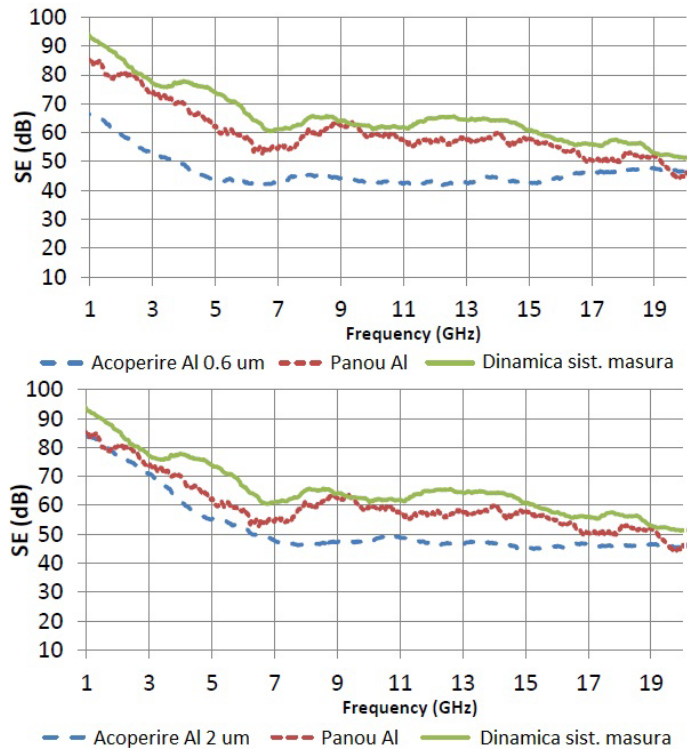


Fig. 6. SE pentru panoul acoperit cu strat metalic (valori calculate) [5]

Rezultatele unui studiu care include masuratori ale SE pentru cîteva panouri formate din ghiduri de undă circulare acoperite cu un strat metalic de diferite grosimi sunt prezentate în Fig. 7. Aceste rezultate indic o creștere a SE în zona frecvențelor joase odată cu creșterea grosimii stratului metalic. Totuși, la creșterea grosimii stratului metalic de la $2 \mu\text{m}$ la $4 \mu\text{m}$, SE nu s-a modificat ceea ce arată faptul că SE nu va fi afectată nici în cazul în care grosimea stratului metalic depășește adâncimea sa de patrundere.



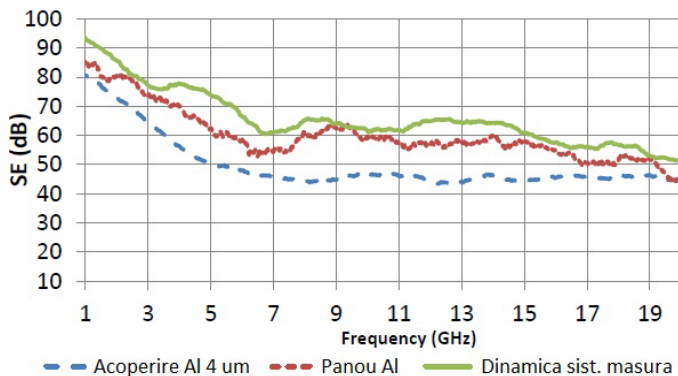


Fig. 7. SE a unor panouri de ghiduri de unda circulare (valori masurate). Curvele de culoare verde – gama dinamica a sistemului de masura; curvele de culoare rosie – SE a unui panou de ghiduri de unda realizat în întregime din Al; curvele de culoare albastru – SE a unor panouri de ghiduri de unda realizate dintr-un material dielectric (polieterimida) și acoperite cu straturi de Al de diferite grosimi

Realizarea ecranelor electromagnetice transparente optic și aerodinamic

Ideea constă în realizarea de panouri de tip fagure (perforate) folosind tehnologia de imprimare 3D și apoi acoperirea lor cu un strat de material conductiv cu parametri superiori, într-un strat foarte subtire, astfel încât să se obțina un panou de ghiduri de undă. Rezultatul este un ecran conductiv neomogen dar cu caracteristici de ecranare electromagnetică. Prințipiu general al realizării ecranelor electromagnetice transparente optic și aerodinamic este prezentat în Fig. 8. Materialele care pot fi folosite pentru realizarea panourilor perforate prin imprimare 3D sunt: ABS-M30, Nylon 12 sau policarbonat. Stratul de material conductiv pentru acoperirea panourilor perforate se va obține prin aplicarea unei vopsele conductive pe baza de argint.

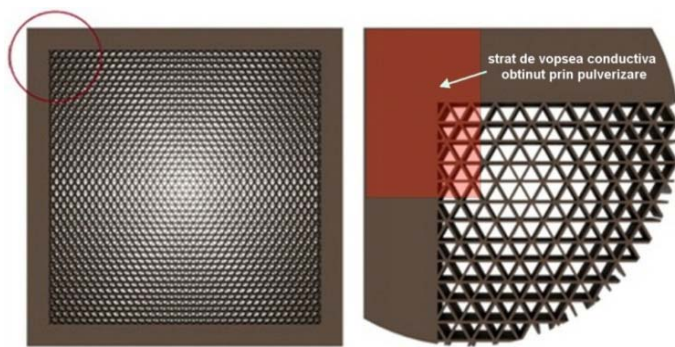


Fig. 8. Prințipiu general al realizării ecranelor electromagnetice transparente optic și aerodinamic: polimer structurat prin 3D printing, acoperit cu vopsea conductiva

Pentru realizarea practică a unor ecrane electromagnetice transparente optic și aerodinamic folosind tehnologia 3D printing, trebuie urmati, în esenta, urmatorii pași:

- proiectarea panoului perforat din punct de vedere al ecranării electromagnetice (stabilirea dimensiunii transversale a ghidului de undă unitar, a grosimii și suprafetei panoului perforat);

- intocmirea unui desen la scara, intr-un program specializat de proiectare asistata de calculator, pe baza dimensiunilor stabilite si generarea fisierului necesar pentru a comanda imprimanta tridimensională folosita;
- incarcarea fisierului obtinut in memoria imprimantei 3D, si executia propriu-zisa a structurii de tip panou perforat prin imprimare tridimensională;
- acoperirea tuturor suprafetelor panoului perforat astfel obtinut cu un strat de material conductiv cu parametri superioiri.

Sisteme compozite pentru ecranare electromagnetică

Conform studiului realizat cu privire la problematica ecranelor electromagneticice composite/multistrat, soluția propusa in cadrul proiectului consta in prepararea printr-un proces complex a materialelor compozite hibride cu proprietati electromagneticice, ce implica metode chimice de sinteza a materialului de umplutura, determinarea raportului optim dintre componentii compozitului: polimer / polimer conductiv / material de umplutura, electrofilarea fibrelor netesute polimerice, caracterizarea complexa a materialului compozit hibrid, precum si teste pentru determinarea proprietatilor de ecranare electromagnetică, teste ce acopera un domeniu extrins de frecventa, de la frecvente de ordinul MHz pana la frecvente de ordinul GHz.

Pentru realizarea unui astfel de material sunt necesare mai multe etape:

- Sinteza chimica utilizand metoda sol-gel a materialului magnetic de umplutura, de tipul fier@oxid de fier acoperit cu material oxidic ($\text{Fe}@\text{Fe}_x\text{O}_y/\text{Al}_2\text{O}_3$) urmata de caracterizarea complexa;
- Determinarea raportului optim dintre componentii compozitului hibrid poliacrilonitril/polianilina/ $\text{Fe}@\text{Fe}_x\text{O}_y/\text{Al}_2\text{O}_3$;

Componenta compozit	Poliacrilonitril	Polianilina	$\text{Fe}@\text{Fe}_x\text{O}_y/\text{Al}_2\text{O}_3$
Concentratie functie de poliacrilonitril (%)	99-93	0,5 - 2	0,5 - 5

- Obtinerea fibrelor netesute de compozit hibrid poliacrilonitril / polianilina / $\text{Fe}@\text{Fe}_x\text{O}_y/\text{Al}_2\text{O}_3$ prin electrofilare;

- Caracterizarea functionala a materialului compozit hibrid din punct de vedere al ecranarii electromagneticice.

Concluzii

Acest studiu prezinta relatiile de calcul ale eficacitatii ecranarii electromagneticice (SE) a ecranelor plane, aratandu-se astfel dependenta SE de parametrii de material (ϵ , σ , μ), precum si relatiile frecventei de taiere si eficacitatii ecranarii panourilor cu ghiduri de unda. Au mai fost prezentate si rezultatele unor studii efectuate cu privire la influenta numarului de ghiduri de unda asupra SE a unui panou de ghiduri de unda si in ceea ce priveste panourile de ghiduri de unda realizate din material dielectric si acoperite cu un strat metalic. De asemenea, au fost prezentate aspecte privind realizarea practica a ecranelor electromagneticice transparente optic si aerodinamic folosind tehnologia de

imprimare 3D dar si factorii care trebuie luati in considerare la realizarea practica a ecranelor electromagnetice compozite/multistrat.

Studiile efectuate arata, contrar parerii general acceptate in industrie, faptul ca *SE* este aproape independenta de numarul de ghiduri de unda *n* si depinde in primul rand de dimensiunea transversala si lungimea ghidului de unda unitar.

Grosimea stratului metalic depus pe panourile de ghiduri de unda realizeate dintr-un material dielectric afecteaza *SE* in zona frecventelor joase insa numai pana la o valoare de ordinul a cativa μm ; o grosime de strat mai mare de 2 μm nu va mai afecta *SE* a panourilor de ghiduri de unda.

In ceea ce priveste materialele compozite cu proprietati de ecranare electromagnetică, studiile efectuate arata faptul ca atunci cand dimensiunea particulelor magnetice este sub o dimensiune critica pierderile prin curenti turbionari devin neglijabile ceea ce determina pastrarea permeabilitatii.

Un material compozit cu proprietati de ecranare electromagnetică se poate realiza utilizand pe langa polimerii organici necesari pentru obtinerea proprietatilor mecanice, si a polimerilor cu proprietati electrice, de exemplu polimerii conductivi. Prin folosirea acestora se obtine un material compozit cu proprietati electrice imbunatatite. Cei mai utilizati polimeri conductivi sunt: polipirolul, poli (3-4 etilendioxitofen), polianilina.

O alternativa pentru polimerii conductivi o constituie nanoparticulele metalice si carbonice. Materialele utilizate cel mai des sunt: nichelul, argintul, cuprul, iar dintre materialele carbonice: nanotuburi de carbon si negru de fum.

Se considera ca acest studiu atinge toate aspectele care intervin la proiectarea si realizarea ecranelor electromagnetice compozite/multistrat si transparente optic si aerodinamic.

In urmatoarele etape ale acestui proiect se vor realiza si testa ecrane electromagnetice compozite/multistrat obtinute folosind materiale compozite hibride cu proprietati electromagneticice, preparate printr-un proces complex, si ecrane electromagnetice transparente optic si aerodinamic obtinute cu ajutorul tehnologiei *3D printing*. Se urmareste obtinerea unor ecrane cu eficacitate a ecranarii cuprinsa intre 60 si 120 dB in gama de frecvente 10 MHz – 18 GHz.

Responsabil proiect

Dr. Ing. Mihai Bădic